

数字滤波算法及实践

数字滤波在电机控制应用中广泛使用，用来滤除信号波动、抑制干扰、平滑指令、提取指定信号等。本章从应用的角度介绍几种常用的数字滤波器，分析滤波器的幅频响应和相频响应，对滤波器在频域的特点做简单的展示；着重讨论滤波器的实现结构、离散化及代码编写，给出推导过程和示例代码；结合代码给出滤波器部分指标的工程计算方法，将实践与理论联系在一起。

滤波的本质是减小噪声。一个信号通常由有用的原始信号与噪声叠加而成，它们混在一起。放大有用信号，噪声也被放大；减小噪声，有用信号也跟着减小，一般没有通用的方法来改善信噪比。但是如果有两个信号，里面包含了相同的原始信号，把它们叠加在一起：原始信号是相干叠加，叠加后幅度变成原始信号的 2 倍，功率变成原始信号的 4 倍；噪声是非相干叠加，许多地方会相互抵消，功率只变成原始信号的 2 倍。这样，信噪比就变为原来的 2 倍，达到了滤波效果。

除典型的滤波器外，本章还介绍了数字滤波器的一些共性问题，如频响周期性、混叠等。这些问题主要是由采样和数据精度导致的，模拟滤波器没有类似的情况。

关于滤波，有以下几个基本概念。

- (1) 模拟频率：每秒多少个周期，单位为 Hz，以 f 表示。
- (2) 模拟角频率：每秒多少弧度，单位为 rad/s，以 ω 表示，并且 $\omega=2\pi f$ 。
- (3) 数字角频率：两个采样点之间有多少弧度，以 ω 表示，满足 $\omega=2\pi f/f_s$ ，这是用采样频率 f_s 将模拟角频率归一化之后的结果。
- (4) 线性相位：相频响应 $\phi(\omega)$ 为数字角频率 ω 的线性函数，在数学上表示为 $\phi(\omega)=a\omega+b$ ，其中 a 和 b 为常数；通俗解释是信号经过滤波器后，各个频率分量的延时时间都是一样的。
- (5) 截止频率：以 f_c 表示。

3.1 常用 IIR 滤波器

N 阶 IIR 滤波器差分方程为

$$y(n) = \sum_{k=0}^{N-1} a_k x(n-k) + \sum_{k=0}^{N-1} b_k y(n-k) \quad (3-1)$$

式中, x 和 y 分别为滤波器的输入与输出; a_k 和 b_k 为滤波器系数, $k=0,1,2,\dots,N-1$ 。IIR 滤波器结构上存在反馈支路, 属于递推型滤波器。滤波器的输出不仅和输入有关, 还和过去的输出有关。在某一时刻, 输入施加到滤波器中, 若没有分辨率的限制, 则输出永远不会下降到零, 这就是所谓的无限冲激响应。递推型滤波器实现起来占用内存更少, 运算也比较少, 因此在资源紧张的电机控制领域应用十分广泛。

3.1.1 模拟原型

设计 IIR 滤波器时有多种模拟原型可以选择, 不同模拟原型在细节上有所不同。例如, 常见的巴特沃斯原型通带较为平坦, 但过渡带下降缓慢; 切比雪夫原型通带平坦, 过渡带下降迅速, 但阻带衰减有纹波。设计者根据需求选择模拟原型, 一般情况下都希望滤波器通带增益平坦, 过渡带下降迅速, 同时在阻带能提供足够的衰减。虽然切比雪夫原型阻带衰减有纹波, 但是只要最小衰减符合指标, 整体上能充分抑制噪声, 就不用担心纹波问题。

使用切比雪夫原型可以降低滤波器的阶次, 或者在保持滤波器阶次不变的情况下获得更合理的参数。以某高阶滤波器的设计为例, 设计参数为采样频率 $f_s = 150\text{kHz}$ 、通带频率 $f_{\text{pass}} = 2\text{kHz}$ 、阻带频率 $f_{\text{stop}} = 16\text{kHz}$ 、阻带衰减 $A_{\text{stop}} = 60\text{dB}$, 采用巴特沃斯原型得到滤波器传递函数:

$$h_1(z) = 0.0032 \times \frac{1 + 2z^{-1} + z^{-2}}{1 - 1.9028z^{-1} + 0.9156z^{-2}}, \quad h_2(z) = 0.003 \times \frac{1 + 2z^{-1} + z^{-2}}{1 - 1.7956z^{-1} + 0.8077z^{-2}} \quad (3-2)$$

式 (3-2) 所示的滤波器阶次为 4, 由两个 2 阶滤波器串联构成, 增益参数数值较小, 分别为 $G_0 = 0.0032$ 、 $G_1 = 0.003$ 。保持设计指标不变, 采用切比雪夫 II 型原型, 得到滤波器传递函数:

$$h_1(z) = 0.0202 \times \frac{1 - 1.5064z^{-1} + z^{-2}}{1 - 1.8933z^{-1} + 0.9033z^{-2}}, \quad h_2(z) = 0.0493 \times \frac{1 + z^{-1}}{1 - 0.9013z^{-1}} \quad (3-3)$$

式 (3-3) 所示为一个 3 阶滤波器, 由一个 2 阶滤波器和一个 1 阶滤波器串联构成。滤波器的增益参数较大, 分别为 $G_0 = 0.0202$ 、 $G_1 = 0.0493$, 其在数值上比巴特沃斯原型滤波器大一个数量级。

滤波器阶次低, 实现起来消耗内存资源更少, 并且带来的相位滞后更小, 参数值大不易受到量化误差的影响。很明显, 在这方面, 切比雪夫 II 型模拟原型更有优势。

图 3-1 所示为两种滤波器的幅频响应, 可以看到, 它们在通带和过渡带上的响应基本上是一致的, 但是在阻带上, 巴特沃斯原型滤波器的衰减倍数持续下降; 而切比雪夫 II 型原型滤波器的衰减则是波动的, 未持续下降。巴特沃斯原型滤波器能维持至少 60dB 的衰减, 在满足设计指标的基础上还提供了冗余的性能。

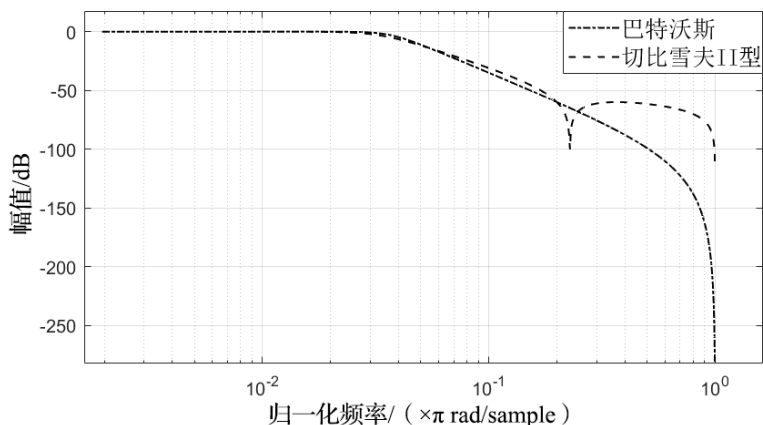
图 3-1 两种滤波器的幅频响应^①

图 3-2 所示为两种滤波器的相频响应,在截止频率处,它们的相位滞后都超过了 130° ,但在整个通带范围内,切比雪夫 II 型原型滤波器的相位滞后比巴特沃斯原型滤波器的相位滞后小。

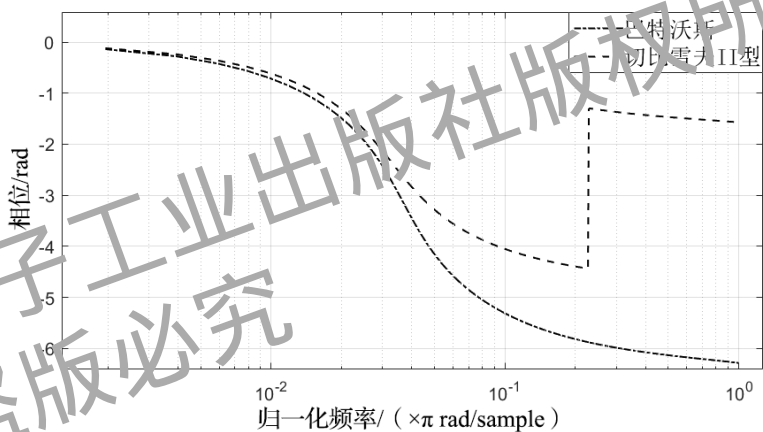


图 3-2 两种滤波器的相频响应

MATLAB 代码如下:

```

% 幅频响应对比
a=[9.584,38.337,57.506,38.337,9.584];
a=a/1000000;
b=[1,-3.698444,5.139971,-3.180835,0.739462];
[h,w] = freqz(a,b);
semilogx(w/pi,20*log10(abs(h)),'k-.','LineWidth',1);

c=[0.001,-0.000508,-0.000508,0.001];
d = [1,-2.794596,2.609760,-0.814173];
[h,w] = freqz(c,d);
hold on;

```

① 图中的 rad/sample 代表弧度/样本。

```

semilogx(w/pi,20*log10(abs(h)),'k--','LineWidth',1);
grid on
title('Magnitude Response (dB)','FontWeight','Normal')
xlabel('Normalized Frequency (\times\pi rad/sample)')
ylabel('Magnitude (dB)')
legend('Butterworth','Chebyshev II')

% 相频响应对比
a=[9.584,38.337,57.506,38.337,9.584];
a=a/1000000;
b=[1,-3.698444,5.139971,-3.180835,0.739462];
[h,w] = freqz(b,a);
semilogx(w/pi,-unwrap(angle(h)),'k-.','LineWidth',1);
grid on

hold on
c=[0.001,-0.000508,-0.000508,0.001];
d = [1,-2.794596,2.609760,-0.814173];
[h,w] = freqz(c,d);
semilogx(w/pi,unwrap(angle(h)),'k--','LineWidth',1);

title('Phase Response (d)','FontWeight','Normal')
xlabel('Normalized Frequency (\times\pi rad/sample)')
ylabel('Phase (rad)')
legend('Butterworth','Chebyshev II')

```

图 3-3 所示为两种滤波器的阶跃响应，很明显，切比雪夫 II 型原型滤波器的上升时间和调整时间更短，这正是相位滞后小带来的好处。

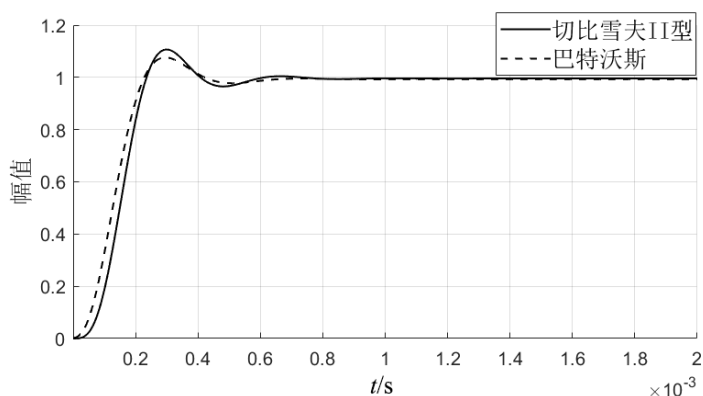


图 3-3 两种滤波器的阶跃响应

阶跃响应分析和绘图相关 MATLAB 代码如下：

```

a=[9.584,38.337,57.506,38.337,9.584];
a=a/1000000;

```

```

b=[1,-3.698444,5.139971,-3.180835,0.739462];
sys = tf(a,b,1/160000);

c=[0.001,-0.000508,-0.000508,0.001];
d = [1,-2.794596,2.609760,-0.814173];
sys1 = tf(c,d,1/160000);

close all;

hold on
grid minor;
[y,t] = step(sys ,0.0014);
plot(t,y,'k-', 'LineWidth',1)
[y,t] = step(sys1 ,0.0014);
plot(t,y,'k--', 'LineWidth',1)
legend('Chebyshev II', 'Butterworth')
xlabel('time (s)')
ylabel('Amplitude')
title('Step Response', 'FontWeight', 'Normal')

```

3.1.2 实现结构

滤波器传递函数可以有多种不同的表达形式，每种都对应着不同的算法，也对应着不同的实现结构。例如：

$$h_1(z) = \frac{1}{1 - 0.3z^{-1} - 0.4z^{-2}} \quad (3-4)$$

可以分解为

$$h_1(z) = \frac{1}{1 - 0.8z^{-1}} \cdot \frac{1}{1 + 0.5z^{-1}} \quad (3-5)$$

或

$$h_1(z) = \frac{0.6154}{1 - 0.8z^{-1}} + \frac{0.3846}{1 + 0.5z^{-1}} \quad (3-6)$$

上述同一滤波器的 3 种不同的表达形式就对应着不同的实现结构。IIR 滤波器常见的结构形式有直接 I 型、直接 II 型（典典型）、级联型、并联型。通过差分方程能够画出的包含反馈结构的数字网络称为直接型。

例如，某 N 阶差分方程：

$$h(z) = \sum_{k=1}^N a_k y(n-k) + \sum_{k=1}^N b_k x(n-k) \quad (3-7)$$

其网络结构可由差分方程直观地画出，如图 3-4 所示。

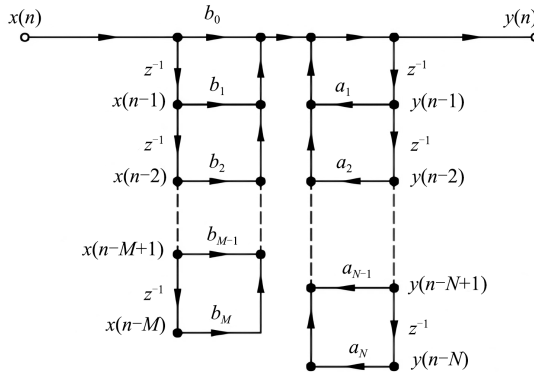


图 3-4 IIR 滤波器直接 I 型网络结构

图 3-4 所示的滤波器可以看作两个系统的串联，因为它们是线性系统，所以交换两个系统的顺序不影响输出结果，即传递函数可以写为

$$h(z) = B(z) \frac{1}{A(z)} = \frac{1}{A(z)} B(z) \quad (3-8)$$

交换顺序后滤波器的网络结构（IIR 滤波器直接 II 型网络结构）如图 3-5 所示，可以看到，延迟模块的输入和输出不再是输入信号或输出信号，取而代之的是一个中间变量。同时，由于两个子系统的延迟模块的输入相同，因此它们可以合并处理，如图 3-6 所示。

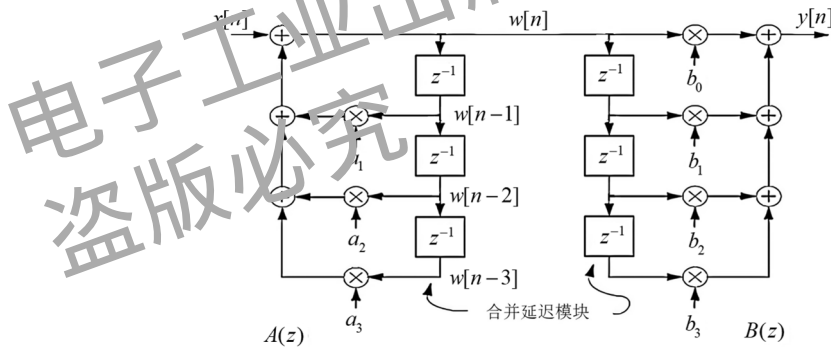


图 3-5 IIR 滤波器直接 II 型网络结构

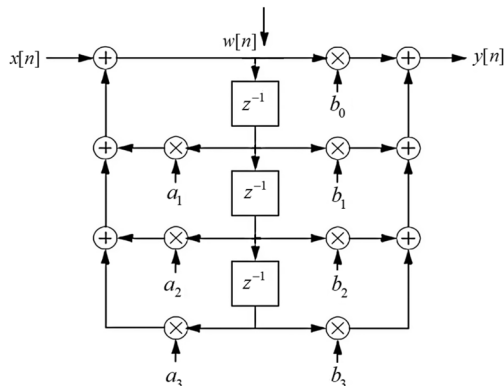


图 3-6 合并延迟模块后的网络结构

直接 II 型网络结构减少了延迟模块, 对具体实现而言, 这意味着可以减少存储单元的使用, 并且减少延迟缓冲区的更新工作, 有一定的积极意义。从运行速度上来说, 计算中间变量打断了直接 I 型网络结构那样的两个表连续乘加的流程, 同时增加了一次乘加运算, 实际计算速度可能会慢一些。

直接型网络结构简单, 使用的延迟器较少 (N 和 M 中的较大者)。当使用 DSP 实现滤波器时, 通过优化汇编可以获得其他网络结构无法达到的运行速度, 但是直接型系数 a_k 、 b_k 对滤波器性能的控制关系不直接, 因此调整参数不方便。具体在实现滤波器时, a_k 、 b_k 的量化误差可能使滤波器的频率响应产生一定程度的改变, 甚至影响系统的稳定性。因此, 直接型网络结构一般用于实现低阶系统。

串联型和并联型网络结构多用于高阶滤波器, 将高阶滤波器拆分成多个子滤波器串联或并联的形式, 每个子滤波器仍然采用直接型网络结构。这样处理的好处在于可以分别调整子滤波器的参数, 并且不易受到参数量化误差的影响。

3.1.3 一阶低通滤波器

3.1.3.1 公式推导

一阶低通滤波器的传递函数为

$$M(s) = \frac{1}{\tau s + 1} \quad (3-9)$$

式中, τ 为时间常数, 数值上 $\tau = 1/(2\pi f_c)$, 其中 f_c 为滤波器的截止频率。

利用后向差分将式 (3-9) 离散化, 即令

$$s = (1 - z^{-1}) / T_s \quad (3-10)$$

式中, T_s 为采样周期。将式 (3-10) 代入式 (3-9) 可得如下差分方程:

$$y_n = \frac{\tau}{T_s + \tau} y_{n-1} + \frac{T_s}{T_s + \tau} x_n \quad (3-11)$$

式 (3-11) 为一阶滞后滤波最常见的差分形式, 便于递推实现, 是非常典型的 IIR 滤波器。除利用后向差分实现离散化以外, 还可以使用双线性变换实现离散化, 这里直接给出差分方程:

$$y_n = \frac{2\tau - T_s}{2\tau + T_s} y_{n-1} + \frac{T_s}{2\tau + T_s} x_n + \frac{T_s}{2\tau + T_s} x_{n-1} \quad (3-12)$$

看起来, 式 (3-12) 可能会不稳定, 当 y_{n-1} 的系数为负数并且输入为零时, 滤波输出会出现振荡。实际上, 这里涉及系统离散化时采样频率的选择问题, 实际应用中总是要求采样周期远小于其时间常数, 因此并不会出现这种系数为负的情况。

将连续传递函数离散化的方法有很多种，一种常见的一阶滞后滤波器的 z 域传递函数形式为

$$M = \frac{z(1 - e^{-wT_s})}{z - e^{-wT_s}} \quad (3-13)$$

式 (3-13) 同样是一阶滞后滤波器的 s 域传递函数在 z 域的近似（这里保证离散化得到的数字滤波器与模拟原型具有相同的阶跃响应），但是采用的方式并不是前向差分或后向差分，或者双线性变换法。此时，差分方程为

$$y_k = e^{-wT_s} y_{k-1} + (1 - e^{-wT_s}) x_k \quad (3-14)$$

式 (3-11) 和式 (3-14) 具有相同的形式，即

$$y_k = (1 - a)y_{k-1} + ax_k \quad (3-15)$$

式中， a 为滤波器系数， $0 < a < 1$ 。 a 越大，滤波器的输出越依赖输入，滤波器作用越小；反之则越依赖滤波器上一次的输出，滤波器作用越大。

3.1.3.2 定点编码实现

式 (3-15) 常见的 C 代码实现如下：

```
y = ((long)y<<16) + ((long)x<<12) - ((long)y<<12) >>16; // a = 1/16
```

其中， x 为输入变量， y 为输出变量。将变量左移 16 位本质上是在利用 Q16 格式数据处理滤波器系数，即常系数 $a = 1/16 = (1<<12)>>16$ 。因为变量 x 和 y 都是 16 位的数据，所以左移为 32 位数据不用考虑数据溢出的问题。这种实现方式的缺点是滤波器稳态输出存在静差，如给定 $x=200$ ，最终稳态输出 $y = 185$ 。

保持实现方式不变，增加四舍五入算法，当输入 $x=200$ 时，最终稳态输出 $y=193$ 。此时，稳态误差有所减小，但仍然存在，代码如下：

```
y = ((long)y<<16) + ((long)x<<12) - ((long)y<<12) + 32768 >>16;
```

稍加分析可以发现，上述代码中精度的损失主要来源于表达式的右移运算，右移 16 位时表达式低 16 位的信息被丢弃，因此可以添加一个缓存变量来累积丢弃部分，代码如下：

```
temp_32 = temp_32 + ((long)x<<12) - (temp_32 >>4);
result = temp_32 + 32768 >> 16;
```

上述代码增加了一个中间变量 `temp_32`，计算结果的低 16 位得到累积，从而跟踪精度大大提高。当给定 $x=100$ 时，`result` 可到 99；当 $x=200$ 时，`result` 可上升至 199。如果在增加中间变量的基础上引入四舍五入算法，那么基本上可以完全跟踪，从而解决稳态误差问题。

编写代码时选择正确的数据类型很重要，如果输入变量是有符号整型，那么中间变量应该是有符号长型，否则，当输入为负值时，程序结果将出现错误。